

ЗАДАЧА О ДВИЖЕНИИ ГАЗА В ТРУБАХ ПЕРЕМЕННОГО СЕЧЕНИЯ И ЕЕ ПРИЛОЖЕНИЯ К ВОЗМУЩЕНИЯМ СОЛНЕЧНОГО ВЕТРА

Л. В. ШИДЛОВСКАЯ

(Москва)

Для задачи о движении газа переменной плотности в ударных трубах переменного сечения проводится качественное исследование класса автомодельных течений с учетом возможного начального движения газа. Получены асимптотические формулы вблизи контактного разрыва, проведено численное решение задачи для случая конечной плотности на контактной поверхности. Даются приложения задачи к проблеме движения газа при солнечных вспышках, вычислены параметры возмущенного магнитного поля. Результаты расчета сопоставляются с данными по наблюдениям ударных волн в космическом пространстве.

1. Пусть в трубе переменного сечения находится движущийся или покоящийся газ. В начальный момент времени через входное отверстие в трубу начинается подвод газа, имеющего переменные давление и плотность, в результате чего в трубе возникает нестационарное движение обоих газов. Движение в трубе считается одномерным. Если имеется слабое магнитное поле, то при бесконечной проводимости газа оно будет деформироваться в соответствии с законом вмороженности. Решение задачи в такой постановке будет описывать движение газа на расстояниях от отверстия, значительных по сравнению с его диаметром.

Движение в трубе определяется начальными значениями давления и плотности газа внутри трубы p_1 , $\rho_1 = A_1 r^{-\omega}$, показателем адиабаты γ_1 , массовым расходом $Q = Q(t)$ и потоком энергии $N = N(t)$ через входное отверстие, показателем адиабаты вытекающего газа γ_2 .

Аппроксимируем $Q(t)$ и $N(t)$ степенными функциями

$$Q(t) = cqt^\alpha, \quad N(t) = cnt^\beta, \quad c = \text{const}$$

Закон изменения площади поперечного сечения трубы на расстояниях r , значительных по сравнению с диаметром входного отверстия, принимается следующим:

$$F(r) = cr^{\nu-1}$$

Условие автомодельности задачи (при $p_1 = 0$) имеет вид

$$(1.1) \quad (1+\alpha)(2+\nu-\omega) - (\nu-\omega)(\beta+3) = 0$$

Если при $\omega \neq 0$ начальное давление $p_1 \neq 0$, то задача неавтомодельна. Аналогичная задача была впервые рассмотрена в [1] для случая постоянной начальной плотности газа, без учета возможного начального движения газа в трубе и без исследований конфигурации магнитного поля.

Поставленная выше задача может рассматриваться как возможная гидродинамическая модель вызванного солнечной вспышкой движения межпланетного газа, если сделаны следующие предположения относительно моделируемых ударных волн в космическом пространстве [2]: имеет место сферическая симметрия и движение происходит в радиальном направлении от Солнца; ударная волна достаточно сильная, так что энергией

солнечной гравитации и внутренней энергией окружающей среды можно пренебречь; существует контактная поверхность раздела двух газов при вытеснении одного газа другим; в рассматриваемой достаточно далекой от Солнца области межпланетного пространства выполняется условие $E_b > E_k$, где E_b — энергия вспышки, а E_k — полная кинетическая энергия солнечного ветра. Последнее ограничение справедливо при изменении r от $0.01r_a$ до $1.5r_a$, где $r_a = 1$ а.е. — средний радиус земной орбиты.

Задача сводится к построению решения системы уравнений

$$(1.2) \quad \frac{\partial v}{\partial t} + v \frac{\partial v}{\partial r} + \frac{1}{\rho} \frac{\partial p}{\partial r} = 0, \quad \frac{\partial \rho}{\partial t} + \frac{\partial}{\partial r}(\rho v) + (v-1) \frac{\rho v}{r} = 0$$

$$\frac{\partial}{\partial t} \left(\frac{p}{\rho^{\gamma_i}} \right) + v \frac{\partial}{\partial r} \left(\frac{p}{\rho^{\gamma_i}} \right) = 0 \quad (i=1, 2)$$

Здесь v , ρ , p — соответственно скорость, плотность и давление, а γ_i — показатели адиабаты для газа, находящегося в трубе (γ_1) и вытекающего из отверстия (γ_2).

2. Решение автомодельной задачи ищем в виде

$$v = \frac{r}{t} V(\lambda), \quad \rho = A_1 r^{-\omega} R(\lambda), \quad p = A_1 r^{2-\omega} t^{-2} P(\lambda)$$

$$\lambda = \lambda_0 \sqrt{\frac{q}{n} r t^{-\delta}}, \quad \lambda_0 = \text{const}, \quad \delta = \frac{\beta+3}{2+v-\omega}$$

Функции V , P , R являются решением системы уравнений [2]

$$(2.1) \quad \frac{dz}{dV} = \frac{z}{(V-\delta)W(V,z)} \{ [2(V-1) + v(\gamma_i-1)V](V-\delta)^2 -$$

$$- (\gamma_i-1)V(V-1)(V-\delta) - [2(V-1) + \kappa_i(\gamma_i-1)z] \}$$

$$\frac{d \ln z}{dV} = \frac{z - (V-\delta)^2}{W(V,z)}, \quad (V-\delta) \frac{d \ln R}{d \ln \lambda} = (\omega - v)V - \frac{W(V,z)}{z - (V-\delta)^2}$$

$$W(V,z) = [V(V-1)(V-\delta) - (\kappa_i - vV)z]$$

$$z = \frac{\gamma_i P}{R}, \quad \kappa_i = \frac{2 + \delta(\omega - 2)}{\gamma_i}$$

Из автомодельности следует, что контактный разрыв движется по закону $\lambda = \text{const}$, т. е. имеем поршень с законом движения $r_i = \text{const } t^\delta = \lambda_i t^\delta$. Из условия конечности энергии $\beta > -1$ вытекает, что решение задачи существует при

$$(2.2) \quad \frac{\beta+3}{2+v-\omega} \equiv \delta > \frac{2}{2+v-\omega}$$

Отсюда получаем, что $\alpha > (v-2-\omega) / (v+2-\omega)$.

Задача разделяется на две: газ вытекает из точечного отверстия в области $0 \leq \lambda \leq \lambda_i$; задача о поршне ставится в области $\lambda_i \leq \lambda \leq 1$. Интегральные кривые рассматриваются в плоскости V , $z = \gamma P / R$. В общем случае начальному состоянию газа в трубе соответствует точка в области между осью V и параболой слабых разрывов

$$(2.3) \quad z = (V-\delta)^2$$

Из соотношений на скачке [3] следует, что преобразование, соответствующее переходу через поверхность сильного разрыва, отображает область между осью V и параболой (2.3) в область между параболой

$$(2.4) \quad z = 2\gamma(V - \delta)^2 / (\gamma - 1)$$

и параболой (2.3).

Величины перед ударной волной V_1, z_1, R_1, P_1 считаются заданными; используя условия на поверхности сильного разрыва нетрудно найти величины за ударной волной V_2, z_2, R_2, P_2 .

Изучим особые точки системы уравнений (2.1) в плоскости Vz : $H(V = \delta, z = 0)$ при $\delta > 2 / (\omega\gamma - \omega + 2)$, или $H'(V = \delta, z = \infty)$ при $\delta < 2 / (\omega\gamma - \omega + 2)$ — узел; $O(V = 0, z = 0)$ — узел; $F(V = 1, z = 0)$ — узел; $D(V = [2 + \delta(\omega - 2)] / \nu\gamma, z = \infty)$ — седло; $K(V = 2 / [2 + \nu(\gamma - 1)], z = \gamma V(V - 1) \cdot (V - \delta) / [3V\gamma - 2 - \delta(\omega - 2)])$ — узел. При $\delta = 1$ возникает точка $C(V = \omega / \gamma, z = (1 - V)^2)$ — узел.

Исследование поля интегральных кривых системы уравнений (2.1) в плоскости Vz для случая $V_1 = 0$ было проведено в [1]. При $V_1 \neq 0, z_1 = 0 (P_1 = 0)$ начальному состоянию газа в трубе соответствует точка оси V . При переходе через поверхность сильного разрыва точка оси V отражается в точку параболы (2.4), на координаты которой накладываются два ограничения. Первое ограничение состоит в том, что особая точка K должна лежать под параболой (2.4), в противном случае решение задачи не существует, ибо, двигаясь вдоль интегральной кривой, невозможно пройти эту особую точку. Второе ограничение вытекает из требования, чтобы точка параболы (2.4) лежала правее особой точки D , через которую не проходит ни одной интегральной кривой, так как в другом случае решение задачи также отсутствует. Выполнение этих условий гарантирует существование решения задачи.

Дальнейшие качественные исследования интегральных кривых дают тот же результат, что и в [1]. Интерес могут представить асимптотические формулы вблизи контактного разрыва, т. е. вблизи линии $V = \delta$.

Случай первый: $H(\delta, 0)$

$$(2.5) \quad V = \delta + (\kappa - \nu\delta)(\lambda - \lambda_1) / \lambda_1, \quad R = a(\lambda - \lambda_1)^{(\omega\delta - \kappa) / (\kappa - \nu\delta)}$$

$$P = b + \frac{(\delta - 1)(\kappa - \nu\delta)}{\lambda_1(\nu - \omega)} a(\lambda - \lambda_1)^{(\delta(\omega - \nu)) / (\kappa - \nu\delta)}$$

$$z = \gamma \frac{b}{a} (\lambda - \lambda_1)^{-(\omega\delta - \kappa) / (\kappa - \nu\delta)}, \quad \kappa = \frac{2 + \delta(\omega - 2)}{\gamma}$$

Здесь a, b — постоянные, причем b соответствует давлению на контактной поверхности, а a — первому коэффициенту разложения плотности R в ряд по степеням $(\lambda - \lambda_1)$ вблизи поверхности разрыва. В этих формулах $\lambda > \lambda_1$.

Случай второй: $H(\delta, \infty)$

$$(2.6) \quad V = \delta + (\kappa - \nu\delta)(\lambda - \lambda_1) / \lambda_1, \quad R = a(\lambda - \lambda_1)^{(\omega\delta - \kappa) / (\kappa - \nu\delta)}$$

$$P = b[1 + (\omega - 2)(\lambda - \lambda_1) / \lambda_1], \quad z = \gamma \frac{b}{a} (\lambda - \lambda_1)^{-(\omega\delta - \kappa) / (\kappa - \nu\delta)}$$

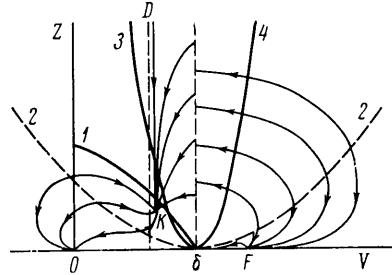
Если z конечно и $z \neq 0$, то $\delta = 2 / (\omega\gamma - \omega + 2)$ и асимптотические формулы таковы:

$$(2.7) \quad V = \delta + (\kappa - \nu\delta)(\lambda - \lambda_1) / \lambda_1, \quad R = a$$

$$P = b[1 + (\omega - 2) / \lambda_1] - a\delta(\delta - 1)(\lambda - \lambda_1) / \lambda_1, \quad z = \gamma b / a$$

Случай $\delta=2/(\omega\gamma-\omega+2)$ соответствует конечной плотности на контактном разрыве (скорость движения разрыва близка к местной скорости звука) и представляет наибольший интерес.

На фиг. 1 для последнего из перечисленных случаев дана картина поля интегральных кривых при $\nu=3$, $\gamma>1/3$, $0<\omega<3$. Контактный разрыв отмечен штриховой прямой $V=\delta$. Кривая 1 соответствует параболе $z=-\delta(V-\delta) \cdot (1+(\gamma-1)V/2\delta)$, в точки которой переходят точки оси z , если ударная волна распространяется по покоящемуся газу, кривая 2 — параболе слабых разрывов (2.3), кривые 3, 4 — параболе (2.4) при $\gamma=\gamma_1$ и γ_2 соответственно.



Фиг. 1

Заметим, что при построении поля интегральных кривых в [1] было отмечено, что входному отверстию трубы соответствует точка $V=\infty$, $z=0$, $\lambda=0$. Следовательно, в области, примыкающей к входному отверстию трубы, можно найти решение, полагая $z=0$. Из равенства $z=0$ следует, что либо $P=0$, либо $R=\infty$. Последнее невозможно, так как предполагается, что плотность газа в трубе остается конечной. Считая, что $P=0$, можно найти продолжение решения по формулам

$$(2.8) \quad \lambda d_1 = (V-1)^{\delta-1} V^\delta, \quad R d_2 = (V-1)^{\nu-\omega} (V-1)^{-1}$$

Здесь d_1 , d_2 — постоянные, которые легко могут быть определены.

Учитывая, что в области $V>\delta$ интегральные кривые образуют однопараметрическое семейство и что при переходе через контактный разрыв изменение R может быть разрывным, тогда как λ меняется непрерывно, приходим к выводу, что решение будет содержать три неопределенных параметра: λ_0 , c_1 , c_2 .

Их можно определить из трех условий:

- непрерывности давления на контактном разрыве, используя асимптотические формулы для $z(\lambda)$, $P(\lambda)$, $R(\lambda)$, $V(\lambda)$ вблизи $\lambda=\lambda_1$;
- равенства массы, заключенной между входным отверстием и контактным разрывом, массе, введенной в трубу через отверстие;
- равенства полной энергии движущегося газа энергии газа, введенного в трубу через отверстие.

Пусть скорость движения в трубе

$$v_1 = \delta (\lambda_0 \sqrt{q/n})^{-1/\delta} r^{1-1/\delta}$$

Задача остается автомодельной при $p_1=0$. Для невозмущенного движения газа имеем

$$(2.9) \quad R_1=1, \quad P_1=0, \quad z_1=0, \quad 0 \leq V_1 \leq \delta$$

Условия б), в) приобретают следующий вид:

$$(2.10) \quad \int_0^{\lambda_1} R(\lambda) \lambda^{\nu-\omega-1} d\lambda = \frac{q}{(\alpha+1)A_1} \left(\frac{q}{n} \right)^{(\nu-\omega)/2} \lambda_0^{\nu-\omega}$$

$$(2.11) \quad \int_0^1 \left[\frac{V^2}{2} + \frac{P}{(\gamma-1)R} \right] R \lambda^{\nu+1-\omega} d\lambda + \frac{\delta^3}{2[1+\delta(1+\nu-\omega)]} \times$$

$$\begin{aligned} & \times \left[\lambda_0 \sqrt{\frac{q}{n}} \right]^{-(\beta+1)/\delta} t^{-(\beta+1)} r^{(2(\delta-1)/\delta)+\nu-\omega} = \\ & = \frac{n}{A_1(\beta+1)} \left(\frac{q}{n} \right)^{(\nu+2-\omega)/2} \lambda_0^{2+\nu-\omega} \end{aligned}$$

Если $\nu_1=0$, то в левой части уравнения (2.11) пропадает последний член, а уравнение (2.10) не изменяет своего вида.

Задача сводится к определению λ_0 , c_1 , c_2 по заданным q , n , но практически оказывается более удобным по заданному значению постоянной c_2 из условия непрерывности давления находить c_1 , после чего из условий (2.10) и (2.11) определять и некоторую комбинацию q и n , а именно $q(q/n)^{(\nu-\omega)/2}$.

3. Обозначим через ξ лагранжеву начальную координату частицы газа. Очевидно, что для каждой частицы координата ξ равна радиусу ударной волны r_b в момент ее прохождения через частицу.

Рассмотрим конфигурацию слабых межпланетных магнитных полей, возникающих в результате вытягивания силовых линий общего поля Солнца в межпланетное пространство. Для описания магнитных полей примем сферическую систему координат с началом в центре Солнца (см. [2]). Пусть Ω — вектор, направленный по оси вращения Солнца; компоненты магнитного поля \mathbf{H} в точке (r, φ, θ) суть H_r, H_φ, H_θ . Газ считается идеально проводящей средой. Предполагается, что солнечный ветер имеет радиальное направление и переменную скорость $u(\xi) = \eta \xi^{\omega-2}$.

По аналогии с [2] для компонент начального магнитного поля можем написать

$$(3.1) \quad H_{r_1} = H_{r_0} \left(\frac{r_1}{\xi} \right)^2, \quad H_{\theta_1} = H_{\theta_0} = 0, \quad H_{\varphi_1} = H_{r_0} \frac{r_1^2 \Omega \sin \theta}{u(\xi) \xi}$$

Через $H_{r_0}, H_{\varphi_0}, H_{\theta_0}$ обозначены составляющие поля \mathbf{H} в некоторой точке $(r_1, \varphi_1, \theta_1)$, где образуется силовая линия, проходящая через точку, имеющую лагранжеву координату ξ . Проектируя интеграл в замкнутой области на направления r, φ, θ , считая, что линии тока мало отклоняются от радиального направления и пользуясь законом сохранения массы, выразим компоненты возмущенного магнитного поля \mathbf{H} через компоненты начального магнитного поля \mathbf{H}_0 в случае $\rho_1 = A_1 \xi^{-\omega}$

$$(3.2) \quad H_{\theta_1} = H_{\theta_0} = 0, \quad \Phi_r = \frac{H_r}{H_{r_0}} = \left(\frac{r_1}{r_b} \right)^2 \frac{1}{\lambda^2}$$

$$(3.3) \quad \Phi_\varphi = \frac{H_\varphi}{H_{r_0} \sin \theta} = R(\lambda) \frac{\gamma+1}{\gamma-1} \frac{r_1^2 \Omega}{u(\xi) \xi} \left(\frac{\xi}{r_b} \right)^{\omega-1} \lambda$$

$$\lambda = r/r_b, \quad R(\lambda) = \rho/\rho_2, \quad \rho_2 = A_1 r_b^{-\omega} (\gamma+1)/(\gamma-1)$$

Для полного магнитного поля верна формула

$$(3.4) \quad \Phi = \sqrt{\Phi_r^2 + \sin^2 \theta \Phi_\varphi^2}$$

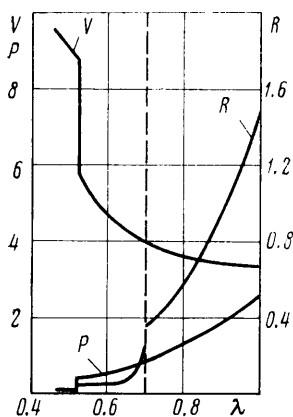
4. Интегрирование системы уравнений (2.1) с начальными условиями

$$(4.1) \quad V_2 = \delta + \frac{\gamma_1 - 1}{\gamma_1 + 1} (V - \delta), \quad R_2 = \frac{\gamma_1 + 1}{\gamma_1 - 1}, \quad z_2 = \frac{2\gamma_1(\gamma_1 - 1)}{(\gamma_1 + 1)} (V - \delta)^2$$

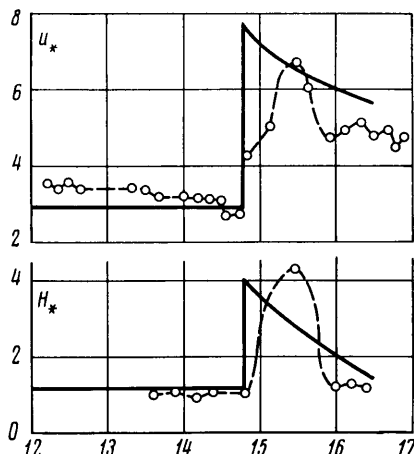
которые получаются из условий на сильных разрывах с использованием (2.9), в области, ограниченной сферическими поверхностями $r_0 = 0.01$ а.е., $r_2 = 1.5$ а.е., проводилось численным методом Рунге — Кутты на ЭВМ БЭСМ-4. На фиг. 2 и 3 приведен пример численного решения задачи при

$v=3$, $\delta=0.75$, $\gamma_1=\gamma_2=1.3$, $\omega=2.2$, $V_1=0.25$ для случая конечной плотности на контактном разрыве. На фиг. 2 изображены зависимости безразмерных характеристик движения газа от переменной λ , значение которой $\lambda=1$ соответствует ударной волне, идущей по невозмущенному газу. Штриховой линией отмечен контактный разрыв. При $\lambda=0.52$ имеем вторую ударную волну, необходимость введения которой обоснована в [1].

Численное решение задачи позволяет перейти к размерным величинам и построить графики зависимостей параметров межпланетного газа от времени в некоторой точке пространства. В настоящих расчетах координата этой точки произвольно полагалась равной 1 а.е. Будем считать, что на орбите Земли плотность частиц $n_a=10 \text{ см}^{-3}$, а скорость солнечного



Фиг. 2



Фиг. 3

ветра $u(\xi)=\eta\xi^{\omega-2}=225 \text{ км/сек}$. В качестве начального значения для напряженности магнитного поля при $r=r_0=0.01$ а.е. примем $H_{r_0}=10^{-3}$ э. На фиг. 3 представлены результаты расчетов в сравнении с данными наблюдений по скорости и магнитному полю на орбите Земли [4]. Здесь $u_* = v \cdot 10^{-2} \text{ км/сек}$, $H_* = H \cdot 10^4$ э. Одно деление оси абсцисс соответствует одним суткам, числами отмечены даты проводившихся в феврале 1967 года наблюдений. Сплошные линии соответствуют теории, пунктирные линии и точки — данным наблюдений. Видно, что имеет место качественное совпадение теоретических результатов с данными наблюдений над солнечными вспышками.

Автор благодарит В. П. Коробейникова за полезные советы и внимание к работе.

Поступила 13 VI 1975

ЛИТЕРАТУРА

1. Григорян С. С., Марченко Т. В., Якимов Ю. Л. О нестационарных движениях газа в ударных трубах переменного сечения. ПМТФ, 1961, № 4.
2. Коробейников В. П., Николаев Ю. М. Ударные волны и конфигурации магнитных полей в межпланетном пространстве. Cosmic Electrodynamics, 1972, vol. 3, No. 1.
3. Седов Л. И. Методы подобия и размерности в механике. М., «Наука», 1972.
4. Hundhausen A. I. Interplanetary shock waves and the structure of solar wind disturbances. Solar Wind. Proc. Conf. Nat. Aeronaut. and Space Admin. 1971. Washington, D. C., 1972.